

IV—6 活性汚泥による基質除去特性について

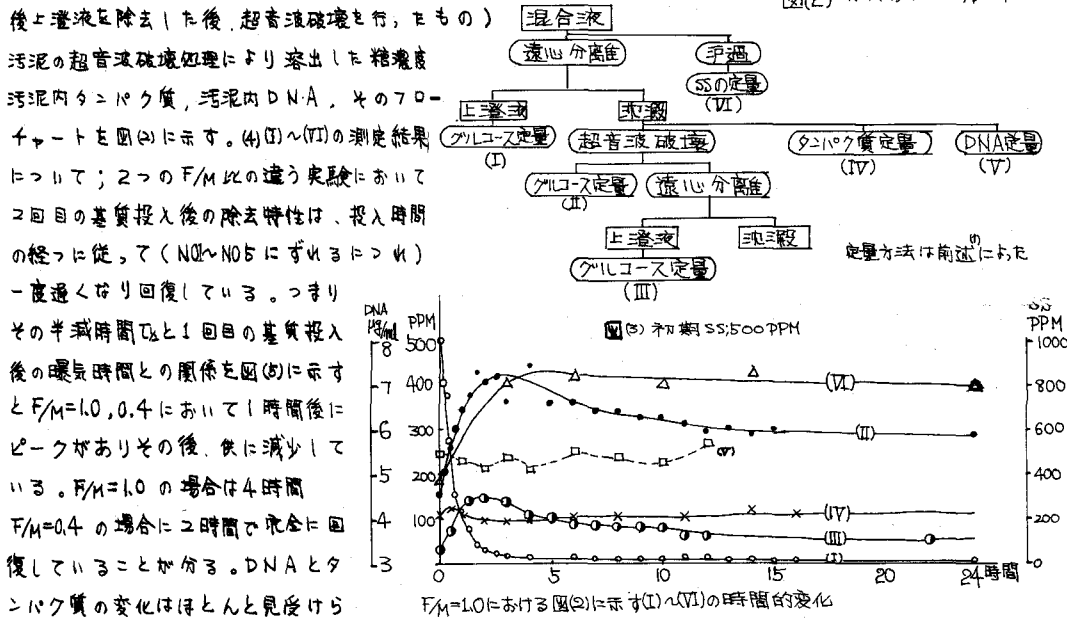
九大 正員 栗谷陽一
 山崎惟義
 小川ひろみ
 学生員の福留信隆

1.まえがき

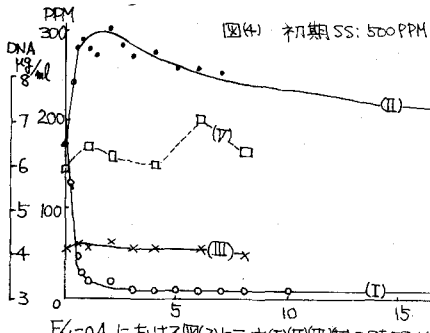
活性汚泥の基質除去特性に関して汚泥内蓄積物の影響を考慮したモデル化の研究がいくつかなされている。しかし、初期の急速な除去から除去速度の減少およびその回復までを通じて充分説明していない。本報告では曝気槽を完全に押出し流れと考え、回目の基質投与後所定の時間後に2回目の基質投与を行ない、回目と2回目の基質除去特性を比較することによってコニベニショナルな活性汚泥法をミュミートした。基質除去の律速段階を酵素と考え、かつ汚泥内蓄積物質によるフィードバックを考えたモデル化により基質除去特性の実験値を検討したものである。

2. 実験方法および実験結果

(1) 汚泥：返送汚泥をケルコースと無機塩で培養（この場合培養槽流入水温を一定にして、翻証がどのようになっているか。 Δ : 1/28, 1/8, SS: 1/9 に $F/M = 1.0$ で基質除去の実験を行った。その結果を図(1)に示す。これから分かる様に基質除去特性に関する限り充分翻証されたりと考えられる。(2) 実験方法：5個の曝気槽を用いて $T = 0$ で全曝気槽に1回目の基質を毎年え時間もずらして N01 ～ N05 の順に2回目の基質を投与した。（ただし、この場合投入後の基質濃度が1回目の投入後と同一になるようにし、与えた基質は培養時と同一組成である。こしれ F/M 比を 1.0 と 0.4 にして、1回目および2回目の基質投入後適当な時間間隔でサンプリングを行い、次に示す(3)の測定を行なったものが図(2)である。(3) 測定項目：上澄液中糖濃度、汚泥内全糖濃度（遠心分離後上澄液を除去した後、超音波破壊を行なうもの）



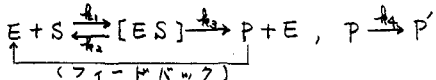
わかった。



$F/M=0.4$ における図(2)に示す(I)(II)(III)の時間的変化

3. 活性汚泥内蓄積物の糖によるフィードバックを考慮したモデル化

仮定として(1)基質除去の律速段階は酵素反応である(2)活性汚泥内の蓄積物質の基質除去特性に対する影響の仕方は蓄積量に比例した酵素量の減少である(3)蓄積糖は酵素反応生成物と考える(4)蓄積量はその量に比例して一次反応的に減少する。



$$\frac{d[ES]}{dt} = k_1 E S - (k_2 + k_3) [ES] \quad (1) \quad E: 酵素量$$

$$\frac{dS}{dt} = -k_1 E S + k_2 [ES] \quad (2) \quad S: 基質量$$

$$\frac{dP}{dt} = k_3 [ES] - k_4 P \quad (3) \quad [ES]: 酵素基質結合体量$$

$$E = E_0 - [ES] - \alpha P \quad (4) \quad P: 第一段反応生成物量$$

$$k_1, k_2, k_3, k_4: 各速度定数$$

$$\alpha: 蓄積糖(P)の酵素に対するフィードバック$$

$$E_0: 全酵素量$$

d. k_1, k_2, k_3, k_4 を $F/M=1.0$ の1回目の基質除去特性より求めた。

$k_1 = 0.032/\text{ppm/hr}$, $k_2 = 3.2/\text{hr}$, $k_3 = 6.4/\text{hr}$, $k_4 = 0.44$, $S_0 = 500\text{ ppm}$

$E_0 = 50\text{ ppm}$ $\alpha = 0.1$ である。これらにより(1)～(4)式の数値計算に

より図(6)を得た。又それを $F/M=0.4$ に当てはめて出した数値計算

と実験値との比較が(7)(8)である。

4. 考察および後書き

①既報ではフィードバック因子として活性汚泥の全糖を著えて除去特性

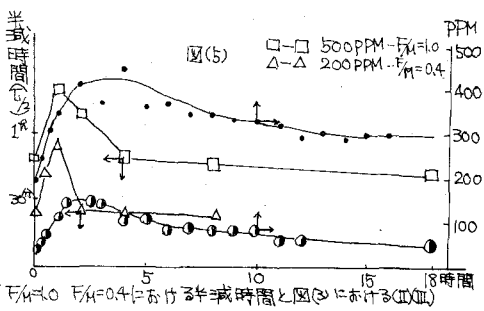
の回復と活性汚泥の全糖との時定数が一致しなかったと報告した

しかし本実験においては活性汚泥全糖よりも超音波破壊放出糖(図(2)(3))の方が半減時間の変化と相間があること分かるが、多少の時定数の差がある。フィードバック因子としてはこれよりも速い物質を求めねばならない。② F/M 比が変化した場合でもモデル化的値が適用できるか。③半減時間ひずみの場合 図(7)でも分るように

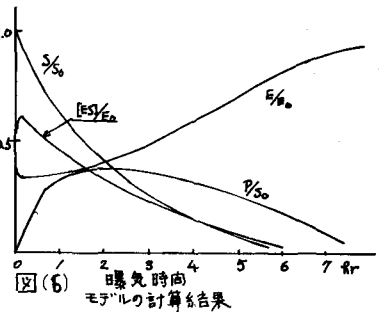
モデル化した計算値と実験値の違いについて 以上①②③に加えて

今後研究をつづけ検討したい。

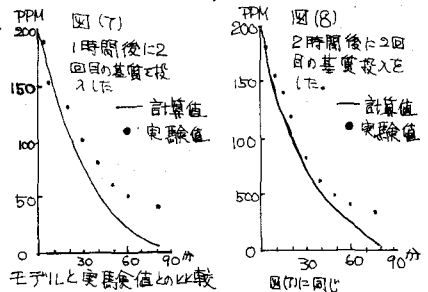
参考文献 (4)栗谷ら「活性汚泥の基質除去特性について」土木学会西部支部講演概要集 1975



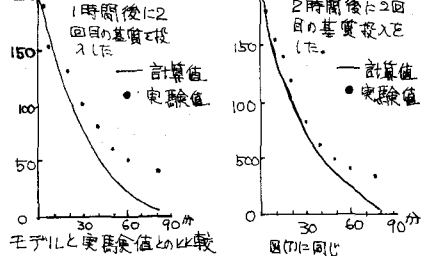
図(5) $F/M=1.0$ における半減時間と図(3)における(I)(II)



図(6) モデリング計算結果



図(7) 1時間後1/2回目の基質投入



図(8) 2時間後1/2回目の基質投入